АКАДЕМИЯ НАУК АРМЯНСКОЙ ССР АСТРОФИЗИКА

TOM 12

АВГУСТ, 1976

выпуск з

МОДУЛЯЦІЮННАЯ НЕУСТОЙ ІИВОСТЬ РЕЛЯТИВИСТСКОЙ ПЛАЗМЫ В ОКРЕСТНОСТЯХ ПУЛЬСАРА

М ХАКИМОВА, Ф. К. ХАКИМОВ, В. Н. ЦЫТОВИЧ
Поступила 23 апреля 1975
Пересмотрена 22 сентября 1975

В данной работе исследована модуляционная неустойчивость релятивистской турбулентной плазмы, которая, образуя котерентные стустки, может быть использована для объяснения радиоизлучения пульсаров. Приведены оценки премени развития неустойчивости, определен уровень турбулентности, при котором неустойчивость успеет развиться, а также определены размеры неоднородности, при которых возможно котерентное излучение.

1. Известно, что радиоизлучение пульсаров обладает высокой эффективной температурой $T_{\rm eff} \simeq 10^{19} - 10^{19} {\rm K}_{\odot}$ и поэтому оно должно быть связано с когерентным механизмом излучения. Когерентное излучение возникает в сгустках частиц, размеры которых должны быть меньше длины вкален излучения. Заметим, что сгустки могут образоваться при распространении в плазме сильной нелинейной волны, которая создает глубокую потенциальную яму из-за нарастания амплитуды воли при модуляционной неустойчивости. Впервые явление модуляционной неустойчивости было рассмотрено Веденовым и Рудаковым в нерелятивистской плазме [1, 2].

Задача настоящего исследования состоит в рассмотрении модуляциочной неустойчивости в релятивистской турбулентной плазме, которую можно использовать для объяснения радиоизлучения пульсаров.

Насколько нам известно, модуляционная неустойчивость релятивистской плазмы ранее не рассматривалась. Есть предположение, что модуляционная неустойчивость приводит к солитонной структуре. Излучение пульсаров в этих предположениях о солитонной структуре рассмотрено в работе [3]. Однако сама модуляционная неустойчивость — более общее явление, и имеются возможности различных нелинейных стадий. В частности, нелинейная теория модуляционной неустойчивости со статистической точки эрення развита в работах [4, 5]. В работе [5] показано, что в результате взаимодействия высокочастотных и низкочастотных колебаний на нелинейной стадин происходит перекачка потока энергии в область больших значений волновых чисел (область затухания Ландау).

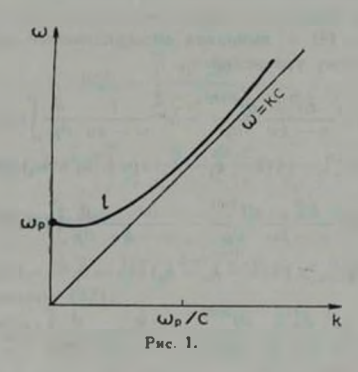
Поэтому этапом в исследовании модуляционной неустойчивости релягивистской плазмы должно быть создание для релятивистской плазмы линейной теорин модуляционной неустойчивости. Таким образом, задача састоит: 1) в исследовании лимейной стадии модуляционной неустойчивости а) без учета перенормировки заряда, учитывающей нелинейную поправку к частоге; б) с учетом перенормировки; 2) оценке времени развития неустойчивости, определения уровня турбулентности, при котором она успеет развиться: 3) определении размеров неоднородности, при которых возможно когерентное излучение.

Качественно само явление модуляционной неустойчивости может быть объяснено следующим образом: при распространении высокочастотных плаэменных воли меняются средние характеристики плаэмы (плотность и др.), что в спою очередь приводит к изменению частоты высокочастотных воли. Иными словами, высокочастотные колебания захватываются областями разреженной плотности, которые, увеличивая радиационное давление, выталкивают плазму из этой области, что еще больше увеличивает разрежение плотности. В работе [1, 2] показано, что модуляционная неустойчивость возникает при достижении определенного уровня турбулентности. В случае релятивистской плазмы этот критерий по аналогии можно было бы записать в виде

$$\frac{W}{n_{\pi^2 s}} > (k/k_d)^{\dagger}$$
, (1)

где W - плотность энергин турбулентности, л. - плотность энергии частиц, п. - концентрация частиц в области излучения, - средняя энергия частиц плазмы, k — волновое число ленгмюровских колебаний, $k_d = \frac{\omega_n}{2}$ — обратная величина дебаевского радиуса экранировки. $a_{\mu\mu}=2\pi n_{\mu}e^{2}c^{2}/\epsilon_{\mu}$ — основная плазменная частота ультрарелятивистской плазмы в сильном магнитном поле. Особенностью околопульсарной плазмы является существование здесь очень сильного магнитного поля. Ультрареаятивистские частицы в сильном магнитном поле быстро теряют поперечную к магнитному полю энергию на синхротронное излучение, в результате чего движения частиц можно считать одномерными. Свойства ультрарелятивистской плазмы с одномерными функциями распределения в сильном магнитном поле исследованы в [6]. Для атого случая были найдены три ветви колебаний. Одна из них при малых частотах соответствует продольным волнам, т. е. аналогична ленгмюровской ветви. Эта ветвь является продольной только в случае распространения под малым углом

m • Если угол m • то такая волна оказывается продольной только в непосредственной окрестности ω_p , а при $\omega > \omega_p$ она переходит в обычную поперечную волну (рис. 1). Исходя из втого, можно предположить, что модуляционная неустойчивость приводит к сгусткам и скоплению внергии продольных возмущений на дие дисперсионной кривой. Эти модуляционные сгустки продольных воли когерентно излучают поперечные васктромагнитные волим. На этом пути можно попытаться объяснить радиоизлучение пульсаров.



2. Задача решается методом, аналогичным рассмотренным в [7], т. г. функция распределения частиц f_p и электрическое поле E разбиваются из регулярную, описывающую низкочастотные возмущения, часть и турбулентную, описывающую высокочастотные ленгиюровские колебания

$$f_{\rho} = f_{\rho}^T + f_{\rho}^R, \tag{2}$$

$$E = E^T + E_{\bullet}^R. (3)$$

В результате усреднения по статистическому ансамблю уравнений движения и уравнений Максвелла и вычигания усредненных уравнений из исходных находятся системы уравнений для регулярных и быстроосциллирующих частей. Все пеличины E^T, E^R, f^T, f^R раскладываются по $E^{R(1)}$ (в случае $E^{R(0)}=0, E^{R(1)}=E^R$) и оставляются лишь линейные по $E^{R(1)}$ члены, таким образом получаются системы уравнений для основного турбулентного состояния и отклонения от него.

Поскольку осуществляется условие $w_H \gg \omega_p$, то все движения можно считать одномерными. Исходные уравнения имеют вид 10-627

$$\frac{\partial f_s^a}{\partial t} = \frac{\partial f_s^a}{\partial r} + e E \frac{\partial f_s^a}{\partial p} = 0, \tag{4}$$

где 2 = c, i

$$\operatorname{div} E = 4 = e^{\epsilon} \int_{-\infty}^{\infty} f_p^* dp. \tag{5}$$

Из (5) пидна нормировка функции распределения $n = \int_{-p}^{p} dp$. $\Pi_{0,A}$

ставляя (2), (3) в (4) и ныполняя нышеуказанные операции, получасы следующую систему уравнений:

$$f_{k_{n}=0}^{T(0)} = -ie^{2} \frac{E_{k_{n}=0}^{T(0)}}{-k_{0}} \frac{\partial f^{R(0)}}{\partial \rho} - ie^{2} \frac{1}{w - k_{0}} \frac{\partial}{\partial \rho} \int_{0}^{\infty} (E_{k_{1}, w_{1}}^{T(0)} f_{k_{n}, w_{1}}^{T(0)} - E_{k_{1}, w_{1}}^{T(0)} f_{k_{n}, w_{2}}^{T(0)}) \delta(k - k_{1} - k_{2}) \delta(w - w_{1} - w_{1}) dk_{1} dk_{2} dw_{1} dw_{2}.$$
(6)

$$f_{k_{1}\cdots}^{R(1)} = -ie^{\alpha} \frac{E_{k_{1}\cdots}^{R}}{\omega - kv} \frac{\partial f^{R(0)}}{\partial p} - \frac{ie^{\alpha}}{\omega - kv} \frac{\partial}{\partial p} \int (-E_{k_{1}\cdots}^{R(1)} f_{k_{1}\cdots}^{R(0)} f_{k_{1}\cdots}^{R(0)} + E_{k_{1}\cdots}^{R(0)} f_{k_{1}\cdots}^{R(0)}) \hat{e}_{\alpha}(k - k_{1} - k_{1}) \hat{e}_{\alpha}(\omega - \omega_{1} - \omega_{2}) dk_{1} dk_{2} d\omega_{1} d\omega_{2}$$

$$(7)$$

$$f_{s_{1}}^{(1)} = -ie^{-\frac{E_{s_{1}-s_{2}}^{(1)}}{\omega - kv}} \frac{\partial f^{R(1)}}{\partial p} - \frac{ie^{-\epsilon}}{\omega - kv} \frac{\partial}{\partial p} \int (E_{k_{1}-s_{2}}^{T(0)} f_{k_{1}-s_{2}}^{R(1)} + \\
+ E_{k_{1}-s_{2}}^{R} \int_{k_{1}-s_{2}}^{T(0)} f_{k_{1}-s_{2}}^{R(1)} f_{k_{2}-s_{2}}^{R(1)} + \frac{ie^{-\epsilon}}{\omega - kv} \int_{k_{1}-s_{2}}^{R(1)} f_{k_{1}-s_{2}}^{R(1)} f_{k_{2}-s_{2}}^{R(1)} ds_{2} ds_{1} ds_{2} ds_{1} ds_{2} ds_{1} ds_{2} d$$

$$E_{k,-}^{T(0)} = -i \frac{4\pi \sigma^*}{k} \int f_{k,-}^{T(0)} d\rho,$$
 (9)

$$E_{k,+}^{T(1)} = -i \frac{4\pi e^{+}}{k} \int f_{k,-}^{T(1)} dp,$$
 (10)

$$E_{k,-}^{R} = -i \frac{4\pi e^{\alpha}}{k} \int f_{k,-}^{R(1)} dp.$$
 (11)

Подстанляя выражения для $f_{k,-n}^{(0)}, f_{k,-n}^{(1)}$ в (7), после соответствующих расчетов, с необходимой точностью считая $\frac{W}{n} \ll 1, \frac{k \cdot c}{n} \ll 1$, получаем уравнение для низкочастотных возмущений, учитынающее нлияние высокочастотных колебаний:

$$-i(\pi - kv) f_{k,n}^{R(1)} - e^* E_{k,n}^R \frac{\partial f^{R(0)}}{\partial p} = \frac{\partial}{\partial p} D_n \frac{\partial f^{R(0)}}{\partial p}.$$
 (12)

LYG

$$D_{z} = -4\pi i e^{i} m_{z}^{2} \int \frac{I_{k_{0} \rightarrow k_{0}} (\alpha - k_{0}) dk_{1} d^{-}_{-}}{z_{n-k_{0}}^{2} - z_{n-k_{0}} m_{1} (\omega - m_{1})^{2}} \int_{z^{2}}^{f_{k+1}^{(k)}} dt,$$
 (13)

Здесь частоты и волновые числа "k" относятся к низкочастотным колебаниям; w_1 и k_1 — к ленгмюровским колебаниям; — линейная часть диалектрической проницаемости; — гој реляционная функция ленгмюровских колебаний на дне дисперсионной кривой $k_1c_1w_p \ll 1$ (рис. 1). Выражение для D_1 после введения сл. у щих обозначений

$$\Psi_{k,n}^{(1)} = \int_{-\pi}^{\infty} \frac{f_{k-1}^{(0)} d^{4}}{\pi^{2}},$$
 (14)

$$d_{k} = 4\pi e^{4}m_{s}^{2}\int \frac{I_{k-k_{0}}dk_{1}dk_{1}}{I_{k-k_{0}-k-k_{0}}^{2}\alpha_{1}(\omega_{1}-\alpha_{0})^{2}},$$
 (15)

приобретает приближенный вид

$$D_1 \approx -i(\omega - kv) \Psi_{k_1 u}^{(1)} d_1$$
 (16)

и соответственно уравнение (12)

$$i(\omega - kv) f_{k,-}^{R(1)} = -\sigma E_{k,-}^{\infty} \frac{\partial f^{R(2)}}{\partial p} + i V_{k,-}^{(1)} d_1 \frac{\partial}{\partial p} (v - kv) \frac{\partial f^{R(2)}}{\partial p}.$$
 (17)

Величина (1) ношла вместо изменения плотности

$$n_{k_{*}}^{(1)} = \int f_{k_{*}}^{R(1)} dv$$

в нереаятивистском случае.

Умножая уравнение (17) на s^{-3} и пронитегрировав по $d \varepsilon$, можио получить следующее выражение:

$$\Psi_{k, w}^{(1)} = \frac{ieE_{k, w}^{R} \int \frac{\partial f^{R(0)}}{\partial p} / z^{3} (m - kv) dp}{1 - d_{1} \int_{z^{3}} \frac{1}{(m - kv)} \frac{\partial}{\partial p} (m - kv) \int_{z^{3}}^{\frac{\partial}{\partial p}} dp} \cdot$$
(18)

Подставляя $\Psi_{\bullet, =}^{(3)}$ в уравнение (17) и используя (5), находим следующее выражение для диэлектрической проницаємости ϵ , характеризующей низкочастотные спойства плазмы:

$$\varepsilon_{k,w} = \varepsilon_{2,w}^4 + \frac{\frac{4\pi e^2}{k} d_1 f_1}{1 - d_2 f_2},$$
 (19)

где

$$J_{1} = \int \frac{dp}{\omega - kv} \frac{\partial}{\partial p} (\omega - kv) \frac{\partial f^{k(v)}}{\partial p} \int \frac{\partial f^{k(v)}/\partial p}{v^{2}(\omega - kv')} dp',$$

$$J_{2} = \int \frac{1}{\sigma^{2}(\omega - kv)} \frac{\partial}{\partial p} (\omega - kv) \frac{\partial f^{k(v)}}{\partial p} dp.$$

Удобио использовать аналогичную [6] функцию распределения, нормированную по внеогиям в в виде

$$f_{a} = \frac{n_{a}}{(a + r_{a})^{2}}, \quad f_{a}dz = f_{p}dp,$$
 (20)

где z_0 выступает в роли средней энергии и согласно [8] зависит от $W^t -$ плотности энергии турбулентности следующим образом:

$$\frac{1}{m_{s}c^{2}} = \frac{1}{m_{s}} \left(\frac{4\pi W^{2}}{5H^{2}}\right)^{1/4}.$$
 (21)

а спектр продольных колебаний в области в области в принимает вид

$$\omega^2 = \omega^2 + \frac{3}{4} k_1^2 c^2. \tag{22}$$

Для втого случая в пределе $\omega < \omega_1$, $k < k_1$, $\frac{\omega}{k} < \frac{\omega_1}{k_1}$, $> k v_s$ (где $v_s = \frac{3}{2} \frac{k_1 c^2}{\omega_\rho} \ll c$ при $k_1 \ll \omega_\rho/c$, т. е. на дне ямы дисперсионной кривой рис. 1). Для d_1 получаем следующее выражение:

$$d_1 = \frac{3}{4} \frac{k c^2}{\omega^2} \frac{1}{n^2} W^I$$
 (23)

и соответственна для диалектрической проинцаемости

$$z_{A,\infty}^4 + \frac{\omega^3}{m^2} \frac{3}{2} = 0, \tag{24}$$

$$\beta = \frac{3}{4} k^2 c^3 \frac{W^3}{n_a s_a} \frac{s_a^2}{m_e^2}.$$
 (25)

Решая дисперсионное соотношение (24), получаем выражения для инкречента неустойчивости для двух случаев: а) релятивистские влектроны m, и нерелятивистские ионы при наличии ленгьюровской турбулентности; б) релятивистские ионы m, и релятивистские алектроны m

Результаты, полученные в разных областях фазовых соотношений для. нодуляционных возмущений, отражены в табл. 1' (1-й и 2-й столбцы).

3. В турбулентной плазме появляются нелинейные поправки к функции Грина $\epsilon^{-1}(k, \omega)$, т. е. к оператору распространения плазмона $\epsilon(k, \omega)$, которые в первом приближении пропорциональны анергии турбулентности $I_{k, \omega}$.

Эти нелинейные поправки описывают влектромагнитную шубу плагмона. Раскладывая в уравнениях (6) и (9) для соударений частиц и турпулентных пульсаций все величины по турбулентному полю E^{TR} , получаем

Здесь

$$\widetilde{\Sigma}_{k_1 k_2 k_3 k_4} = \Sigma_{k_1 k_3 k_3 k_4} - S_{k_1 k_3 k_4 k_3 k_5 k_4} z^{-1} (k - k_1) S_{k - k_1 k_2 k_5}$$
(27)

$$S_{k_1 k_2 k_3} = 4\pi e^{\pi m^2} \int \frac{1}{\epsilon^2 (\omega - kv)} \frac{\partial f^{R(0)}}{(\omega_1 - k_1 v) (\omega_2 - k_2 v)} d\rho$$
 (28)

$$\Sigma_{k_1,k_2,k_3} = 12 = e^2 m^2 \int \frac{\frac{\partial \int_0^{m(v)} d\mu}{\partial p} d\mu}{\left[\frac{1}{1 - \frac{m}{2} - (k_1 - k_2) v \right] (m_3 - k_3 v)} \cdot (29)$$

Для ленгиюровской турбулентности, которая является нераспадной, на (26) имеем вместо $\varepsilon(k)=0$,

$$\epsilon (k_1, \omega_1) I_{k_1, \omega_1} = 0,$$

$$\epsilon (k_1, \omega_1) = \epsilon (k_1, \omega_1) - e^2 \int_{k_{k_1-1}, k_{k_1-1}, k_{k_1-1}, \ldots, k_1, \ldots, k_1, \ldots, k_k, \omega_1, \ldots, k_k, \omega_2} I_{k_{k_1-1}, k_1, \ldots, k_k, \omega_1}.$$
(30)

Таблица 1

ИНКРЕМЕНТЫ МОДУЛЯЦИОННОЙ НЕУСТОЙЧИВОСТИ РЕЛЯТИВИСТСКОЙ ПЛАЭМЫ В СИЛЬНОМ МАГНИТНОМ ПОЛЕ

| Без учета перенормировки | | С учетом перенормировки | |
|--|--|---|---|
| ионы реавтивистские* | ионы нерелятивистские | ионы реалтивистские | ионы нереазтивистские |
| Нет области существования | $\gamma = \sqrt{\frac{3}{2}} kc \left(\frac{W^l}{n_* \varepsilon^*}\right)^{1/2} \frac{\varepsilon^*}{m}$ | Нет области существования | $\gamma = 3 \sqrt{\frac{3}{2}} kc \left(\frac{W^{l}}{n_{*} \varepsilon^{c}}\right)^{1/2} \frac{\varepsilon}{m}$ |
| $ \begin{array}{c} $ | $\gamma = \sqrt{\frac{3}{2}kc\left(\frac{W}{n_{\phi}\varepsilon^{\epsilon}}\right)^{1/2}\frac{\varepsilon^{\epsilon}}{m}}$ | $\gamma = \frac{3}{\sqrt{2}} kc \left(\frac{W}{n_{\phi} \epsilon_{\star}^{\ell}}\right)^{1/2} \frac{\epsilon_{\star}^{\ell}}{m_{e}}$ $\gamma = \sqrt{6} kc \left(\frac{W}{n_{\phi} \epsilon_{\star}^{\ell}}\right)^{1/2} \frac{\epsilon_{\star}^{\ell}}{m_{e}}$ | $\gamma = \sqrt{\frac{3}{2}kc\left(\frac{W}{n_*\varepsilon^*}\right)^{\frac{1}{2}}\frac{\varepsilon^*}{m_c}}$ |

^{*} Электроны всегда предполагаются релятивистскими.

 $\{|c_{1000}|c_{200}|c_{200}|c_{200}|c_{200}|c_{200}|c_{200}|c_{200}|c_{200}|c_{200}|c_{200}|c_{200}|c_{200}|c_{200}|c_{200}|c_{200}|c_{200}|c_{200}|c_{200}|c_{200}|c_{200}|c_{200}|c_{200}|c_{200}|c_{200}|c_{200}|c_{200}|c_{200}|c_{200}|c_{200}|c_{200}|c_{200}|c_{200}|c_{200}|c_{200}|c_{200}|c_{200}|c_{200}|c_{200}|c_{200}|c_{200}|c_{200}|c_{200}|c_{200}|c_{200}|c_{200}|c_{200}|c_{200}|c_{200}|c_{200}|c_{200}|c_{200}|c_{200}|c_{200}|c_{200}|c_{200}|c_{200}|c_{200}|c_{200}|c_{200}|c_{200}|c_{200}|c_{200}|c_{200}|c_{200}|c_{200}|c_{200}|c_{200}|c_{200}|c_{200}|c_{200}|c_{200}|c_{200}|c_{200}|c_{200}|c_{200}|c_{200}|c_{200}|c_{200}|c_{200}|c_{200}|c_{200}|c_{200}|c_{200}|c_{200}|c_{200}|c_{200}|c_{200}|c_{200}|c_{200}|c_{200}|c_{200}|c_{200}|c_{200}|c_{200}|c_{200}|c_{200}|c_{200}|c_{200}|c_{200}|c_{200}|c_{200}|c_{200}|c_{200}|c_{200}|c_{200}|c_{200}|c_{200}|c_{200}|c_{200}|c_{200}|c_{200}|c_{200}|c_{200}|c_{200}|c_{200}|c_{200}|c_{200}|c_{200}|c_{200}|c_{200}|c_{200}|c_{200}|c_{200}|c_{200}|c_{200}|c_{200}|c_{200}|c_{200}|c_{200}|c_{200}|c_{200}|c_{200}|c_{200}|c_{200}|c_{200}|c_{200}|c_{200}|c_{200}|c_{200}|c_{200}|c_{200}|c_{200}|c_{200}|c_{200}|c_{200}|c_{200}|c_{200}|c_{200}|c_{200}|c_{200}|c_{200}|c_{200}|c_{200}|c_{200}|c_{200}|c_{200}|c_{200}|c_{200}|c_{200}|c_{200}|c_{200}|c_{200}|c_{200}|c_{200}|c_{200}|c_{200}|c_{200}|c_{200}|c_{200}|c_{200}|c_{200}|c_{200}|c_{200}|c_{200}|c_{200}|c_{200}|c_{200}|c_{200}|c_{200}|c_{200}|c_{200}|c_{200}|c_{200}|c_{200}|c_{200}|c_{200}|c_{200}|c_{200}|c_{200}|c_{200}|c_{200}|c_{200}|c_{200}|c_{200}|c_{200}|c_{200}|c_{200}|c_{200}|c_{200}|c_{200}|c_{200}|c_{200}|c_{200}|c_{200}|c_{200}|c_{200}|c_{200}|c_{200}|c_{200}|c_{200}|c_{200}|c_{200}|c_{200}|c_{200}|c_{200}|c_{200}|c_{200}|c_{200}|c_{200}|c_{200}|c_{200}|c_{200}|c_{200}|c_{200}|c_{200}|c_{200}|c_{200}|c_{200}|c_{200}|c_{200}|c_{200}|c_{200}|c_{200}|c_{200}|c_{200}|c_{200}|c_{200}|c_{200}|c_{200}|c_{200}|c_{200}|c_{200}|c_{200}|c_{200}|c_{200}|c_{200}|c_{200}|c_{200}|c_{200}|c_{200}|c_{200}|c_{200}|c_{200}|c_{200}|$

$$D_{i} = -\frac{4\pi i e^{i} (\omega - kv) \Psi_{k}^{(1)} \int \frac{I_{k} dk_{1}}{(k - k_{1}) \omega_{1} (\omega_{2} - \omega)^{3}}}{1 + \frac{2e^{2}\omega_{1}^{3}}{m_{e}^{2}} \left(\frac{3i' + 5i'}{\frac{2}{2} + \frac{2}{2}i'}\right) \int_{0}^{1} \frac{I_{k} dk_{1}}{(k - k_{1}) \omega_{1}^{3} (\omega_{1} - \omega)^{2}}}$$
(31)

Из (31) и (12) находим диалектрическую проницаемость:

$$\frac{s(k, \omega) = s_0^l(k, \omega) + (s_0^l(k, \omega) - 1) - 2 \frac{\omega_{\mu}^l \frac{n_0 d_1}{\omega^2 \frac{m^2 s_1^l}{m^2 s_1^l}}}{1 + \frac{n_0 d_2}{2m_e^2 s_1^l} \left(\frac{3s_1^n + 5s_1^l}{s_1^n + s_1^n}\right) + \frac{3}{2} \frac{n_0 d_1}{m^2 s_1^n}}$$
(32)

F.36

$$d_{1} = \frac{e^{3} - \frac{2}{m_{e}^{2} n_{0}} \int \frac{I_{e} dk_{1}}{\frac{1}{5} (k - k_{1}) \omega_{1} (\omega - \omega_{1})^{3}}$$
(33)

$$d_2 = \frac{e^2 \omega_0^2}{m_e^2 n_0} \int \frac{I_{k,0} dk_1}{e (k - k_1) \omega_1^2 (\omega - \omega_1)^2}.$$
 (34)

В пределе $\omega \ll \omega_1$, $k \ll k_1$, $\frac{\omega}{k} \ll \frac{\omega_1}{k_1}$ получим

$$d_1 = d_2 \approx \frac{3}{4} \frac{k_1^2 c^2}{m^2} \frac{s_1^2 m_2^2}{n^2} W^4 \tag{35}$$

31

$$\varepsilon_0^t(k, w) + (\varepsilon_0^t(k, w) - 1) - \frac{\frac{\omega_p^2}{s} \cdot \frac{\beta}{s}}{1 + \frac{\beta}{w^2} \left(\frac{3s + 5s^2}{s + s^2}\right) + \frac{3}{2} \cdot \frac{\beta}{w^2}} = 0, \quad (36)$$

где

$$\beta = \frac{3}{2} k^2 c^2 s^2 \frac{W^2}{n_b s^2}$$

Решая это дисперсионное соотношение, получим выражения для ичкрементов неустойчивости (табл. 1, 3-й и 4-й столбцы).

4. Сравним результаты, полученные с учетом перенормировки групповой скорости плазмона, учитывающей нелинейную поправку к частоте и без учета этой перенормировки. Оказывается, перенормировка существения при $k < k = \frac{m_p}{1000} \frac{W'}{1000}$, т.е. на дие дисперсионной кривой, а при уве-

личении k и за точкой k, т. е. — — перенормировка меняет только численные значения коаффициентов в инкременте модуляционной неустойчивости, тогда как аналитическая зависимость от волнового числа k, энергии турбулентиности W и параметра W остаются теми же.

В случае, когда и ноны, и алектроны являются релятивистскими, основная плаэменная частота, как обычно, определяется частицами с наименьшей средней энергией, т. е. если, например, средняя энергия электронов больше средней энергии ионов , то ионы можно считать легкими, а электроны тяжельши. В этом случае во всех расчетах для случая релятивистских ионов электроны заменяются на ионы, и обратно, т. е. в выражении для диэлектрической проницаемости поправки, связанные с воздействием низкочастотных колебаний, появляются к ноиной части, а электронная остается линейной, конечные же результаты остаются неизменными, лишь с заменой в на в ...

Теперь, принимая следующие значения параметров в пульсаре: размер области излучения $L=10^\circ$ см, плазменная частота в области генерации радиоизлучения не больше 10° сск получаем следующие значения для характерного времени распространения электромагнитных возмущений и релятивистеких частиц в пульсаре: $t\approx 3\cdot 10^\circ$ сек и для характерного времени развития модуляционной неустойчивости $\tau\approx 5\cdot 10^\circ$ сек. Изсравнения характерных времен видно, что неустойчивость за время t вполне может развиться вплоть до минимальных значений «нергии

$$\frac{W}{\pi^{-2}} \approx 10^{-3}$$
.

Для того, чтобы неустойчивость успела развиться, необходимо выполнение следующего условия:

$$r \sim kc \left(-\frac{W}{n}\right)^{1/2} > \frac{1}{l} = 3 \cdot 10^{1} c_2 \kappa^{-1}.$$

Отсюда находим минимальное значение волнового числа k_{\parallel} начиная с которого, возникает модуляционная неустойчивость:

$$k > \frac{1}{c} \left(\frac{n_{\rm obs}}{1E}\right)^{1/2} \cdot 3 \cdot 10^4 \simeq k_{\rm min}.$$

Максимальное полновое число $k_{\rm max}$ при распространении по направлению поля $0 < mc^2/\epsilon_{\rm w}$ равняется

$$k_{\max} \approx \frac{\omega_p}{c}$$

а при $\vartheta > mc^2$

$$k_{mn} = rac{c}{c} rac{m.c^2}{m.c^2}$$
 . Приведенные максимальные значения волнового числа k соответствуют об-

ласти существования продольных воли, однако развитая теория модуляционных неустойчивостей справедлива в области $\frac{1}{c}$. Модуляционные
возмущения ленгиюровских колебаний, согласно существующим численным вкспериментам и теории, в нерелятивистской плазме создают поток
от малых значений k к большим, т. е. нелинейно трансформируются в область меньших ллин воли.

Нужно думать, что и в релятивистской плазме возникает такой поток энергии в сторону больших значений k, и, таким образом, вся область возможных значений k для продольных воли, вплоть до k_{\max} , будет заполнена колебаниями, собраниыми в когерентные сгустки. Хотя строгое доказательство этой картины — дело будущих исследований, при оценках возможного когерентного радиоизлучения можно пользоваться приведенным значением k_{\max} . Может быть, стоит подчеркнуть, что на дне дисперсионной кривой продольные колебания в релятивистской плазме образуются при любых одномерных функциях распределения в сильном магнитном поле, хотя бы из-за неустойчивости альфвеновских воли, максимальный инкремент которых приходится в области частот, близких к плазменным [8].

Обратные величины этих максимальных, минимальных и промежуточных волновых чисел дают возможные размеры неоднородностей. Зная плотность $n_{\rm e}$ и средние энергии $t_{\rm e}$, можно найти плазменную частоту для данного объекта и соответствующую длину волны излучения, которая при сравнении с характерным размером неоднородности позволяет определить размер того сгустка, для которого возможно когерентное излучение (используя условие $\lambda > l$). Если принять $n_{\rm e} \sim 10^{10}$ см $^{-1}$, $t_{\rm e} = 10^{3}$ m, c^{2} , $\frac{W}{h} \approx 10^{10}$ m, c^{2} m, c^{2} m, c^{2} m, c^{2} m, c^{2} m, c^{2} m,

=0.1 [8], то длины воли когерентного радиоизлучения можно ожидать в диапазоне $t\approx 3\cdot 10^{-4}$ м =30 м. Если же $t_0=10^{14}$ см 3 .

 $=10^{\circ}$ т. e° [9], то наибольшая и будет иметь тот же порядок величины. При том же уровне турбулентности. Однако минимальное значение будет существенно больше, правда, ато относится к волнам, распределившимся в уаком конусе углов вдоль магнитного поля. С другой стороны, при параметрах, соответствующих [9], абсолютное значение плотности энергин турбулентности W при том же отношении W/n — намного больше (приблизительно в 10° раз), поэтому наблюдаемая интенсивность радноизлучения получится при значительно меньших значениях W/n — но при этом картина станет не самосогласованной, так как при малых значениях W/n — модуляционная неустойчивость развиваться не будет и колерентные сгустки плазменных колебаний, соответственно. Таким образом. в модели [9] нужно поедполагать дочгие механизмы излучения.

В модели же [8] когерентное излучение естественно объясияется модуляционной неустойчивостью, рассмотренной в настоящей работе.

Тазжинский государственный университет

MODULATION INSTABILITY OF RELATIVISTIC PLASMA IN THE VICINITY OF PULSAR

M. KHAKIMOVA, F. Kh. KHAKIMOV. V. N. TSITOVICH

In the present paper the modul instability of relativistic turbulent plusma has been investigated in which informing coherent coagulations may be used to explain the radio radiation of pulsars. The estimations of the time development of instability is given. The level of turbulence is determined in the case of which instability can be developed. The dimensions of heterogeneity have also been determined in the case when coherent radiation may take place.

ЛИТЕРАТУРА

- 1 A A Beachos, A. H. Pyankos, AAH CCCP, 159, 767, 1964.
- 2. А Гайлитис, Изв. АН Латв. ССР, сер. физ.-техи. наук, 4, 13, 1965.
- V. I. Karpman, C. A.Norman, D. ter Haar, V. N. Taytovich, Department of theoretical physics, University of Oxford, Ref. 35-74.
- 4. Ф. X. Хакимов, В. Н. Цытович, ЖЭТФ, 64, 1261, 1973.
- 5. d), X. Хакимов, В. Н. Цыгович, ЖТФ, 43, 2481, 1973.
- b. В. Н. Цытович. С. А. Каплан, Астрофизика, 8, 441, 1972.
- г. В. П. Цытович. Теприя турбулентной плазмы. Атомиздат. М., 1971.
- 8. С. А. Каплин, В. Н. Цытович, Пламенная астрофизика, Наука, М., 1972.
- 9. M. A. Ruderman, P. G. Sutherland, Department of Physics, Columbia University, New York, 10027, 1974.